

**ТЕПЛООТДАЧА ИЗОТЕРМИЧЕСКОЙ ПЛАСТИНЫ  
ПРИ ТУРБУЛЕНТНОМ ТЕЧЕНИИ ЖИДКОСТИ  
В ШИРОКОМ ДИАПАЗОНЕ ЗНАЧЕНИЙ  
ЧИСЕЛ ПРАНДТЛЯ И РЕЙНОЛЬДСА**

*A. III. Дорфман, О. Д. Липовецкая*

(Киев)

Изучение теплоотдачи турбулентно обтекаемой пластины имеет важное значение не только потому, что этот случай часто встречается на практике, но и потому, что данные по изотермической пластине используются для расчета теплоотдачи в более сложных случаях. В частности, эти данные необходимы при использовании предельных относительных законов, позволяющих рассчитать теплоотдачу с учетом влияния скимаемости, градиента давления, вдува и других возмущающих факторов [1].

Большинство работ, посвященных теплоотдаче изотермической пластины, относится к сравнительно малым числом  $Re$ , когда распределение скоростей в граничном слое почти по всей его толщине может быть описано универсальным законом стенки. Однако с ростом  $Re$  возрастает часть слоя, прилегающая к внешней границе, в которой распределение скоростей не может быть описано законом стенки, и потому результаты, полученные при малых числах  $Re$ , оказываются непригодными.

В данной работе коэффициенты теплоотдачи от турбулентно обтекаемой изотермической пластины получены путем численного интегрирования уравнений теплового пограничного слоя для широкого диапазона значений критериев  $3 \cdot 10^5 \leq Re \leq 2,5 \cdot 10^{12}$ ,  $10^{-2} \leq Pr \leq 10^3$ .

В работах [2—5] использовались равновесные турбулентные пограничные слои, характеризующиеся постоянством безразмерного градиента давления  $\beta = \delta^* \tau_w^{-1} dp/dx$ . В [5] путем интегрирования уравнений динамического слоя вычислены профили дефекта скорости для таких слоев при различных значениях  $\beta$ , а в [6] указан метод сопряжения профилей дефекта скорости с универсальными профилями закона стенки и предложена составная функция, определяющая коэффициент турбулентной вязкости. При этом распределения скоростей и коэффициента турбулентной вязкости в слое описываются функциями безразмерной координаты  $\eta = y/\Delta$ , где  $\Delta = \delta^*/\sqrt{c_f/2}$ , зависящими от параметров  $\beta$  и  $Re_* = \delta^* U/v$ .

Для этих условий и постоянного значения турбулентного числа Прандтля  $Pr_t$  в работе [7] получены решения уравнения теплового пограничного слоя для градиентных равновесных течений и произвольного распределения температуры поверхности.

Для рассматриваемого здесь случая изотермической ( $T_w = \text{const}$ ) пластины ( $\beta = 0$ ) эти формулы имеют вид

$$(1) \quad \theta = (T - T_\infty)/(T_w - T_\infty) = G_0(\varphi), \quad St(c_f/2Pr)q_0,$$

где  $G_0(\varphi)$  — функция, определяемая путем интегрирования обыкновенного дифференциального уравнения, приведенного в [7];

$g_0 = -\sqrt{2\beta_1/Re_*}(\varphi^{1/2}G'_0)_{\varphi=0}$ ;  $\beta_1$  — параметр, зависящий от  $\beta$  и  $Re_*$  [5];  $\varphi$  — переменная, однозначно связанная с переменной  $\eta$  [7],

$$(2) \quad \varphi = \beta_1 \sqrt{c_f/2} \int_0^\eta u/U d\eta.$$

При расчетах турбулентное число Прандтля  $Pr_t$  принималось равным единице. Для больших чисел Прандтля, когда тепловой слой располагается в вязком подслое, существенным оказывается характер затухания пульсаций в вязком подслое. Считалось также (как, например, в [8]), что коэффициент турбулентной вязкости пропорционален четвертой степени расстояния от стенки. Для  $Pr < 1$ , когда тепловой слой толще динамического, принималось что коэффициент турбулентной вязкости вне динамического слоя не изменяется и равен соответствующему значению на внешней границе динамического слоя [9].

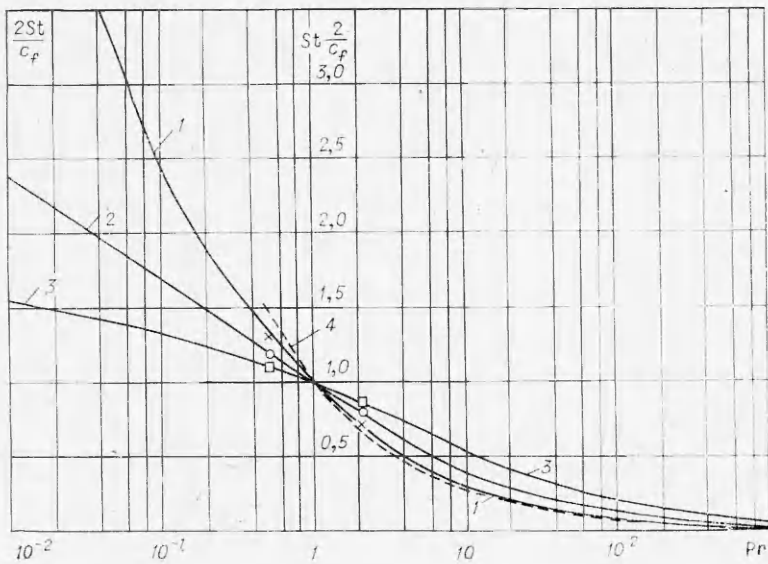
На фиг. 1 приведены результаты расчетов в виде зависимости коэффициента аналогии Рейнольдса  $2St/c_f$  от числа  $Pr$  при различных значениях параметра  $Re_*$  (кривая 1 —  $Re_* = 10^3$ ; 2 —  $Re_* = 10^5$ ; 3 —  $Re_* = 10^9$ ).

При сравнительно малых числах  $Re$  и числах  $Pr$ , близких к единице, результаты расчетов хорошо согласуются с известной формулой  $2St/c_f = -Pr^{-0,6}$  (кривая 4), а также со значением 1/0,863 (точка, отмеченная треугольником), полученным в [10] в результате обработки экспериментальных данных для воздуха ( $Pr = 0,7$ ).

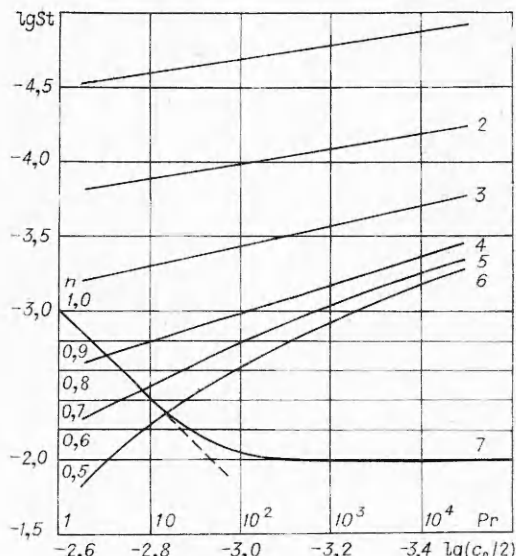
Расчеты хорошо согласуются и с результатами, полученными для  $Pr = 0,5—2$  и  $1,2 \cdot 10^5 < Re_* < 1,11 \cdot 10^6$  в [11] путем численного интегрирования системы дифференциальных уравнений турбулентного пограничного слоя с использованием формулы Клаузера для напряжения трения и формулы Коулса для распределения скорости в пограничном слое (точки на кривых 1—3).

При больших числах  $Re$  значения коэффициентов аналогии существенно отличаются от соответствующих значений при малых  $Re$ . Причем увеличение числа  $Re$  приводит при  $Pr > 1$  к росту, а при  $Pr < 1$  — к уменьшению коэффициентов аналогии.

Чтобы получить аппроксимирующую формулу для вычисления коэффициентов теплоотдачи, воспользуемся следующими соображениями. В [12] показано, что при  $Pr \rightarrow \infty$  число Стантона пропорционально  $\sqrt{c_f/2}$ . Вместе с тем известно, что при  $Pr = 1$  число Стан-



Ф и г. 1



Фиг. 2

тона пропорционально  $c_f/2$ . Исходя из этого, можно предположить, что и при других числах  $\text{Pr}$  существует пропорциональность между  $\text{St}$  и  $(c_f/2)^n$ , причем показатель уменьшается с ростом числа Прандтля от 1 при  $\text{Pr} = 1$  до  $1/2$  при  $\text{Pr} \rightarrow \infty$ . Из приведенных на фиг. 2 зависимостей  $\lg \text{St} = f(\lg c_f/2)$ , полученных в результате расчетов (кривая 1 —  $\text{Pr} = 1000$ ; 2 —  $\text{Pr} = 100$ ; 3 —  $\text{Pr} = 10$ ; 4 —  $\text{Pr} = 1$ ; 5 —  $\text{Pr} = 0,1$ ; 6 —  $\text{Pr} = 0,01$ ), следует, что такая пропорциональность действительно имеет место для чисел  $\text{Pr} > 1$ . Здесь же приведены соответствующие значения показателей  $n$  в зависимости от числа Прандтля (кривая 7). Заменяя кривую  $n = f(\lg \text{Pr})$  двумя прямыми и определяя соотв-

твествующие коэффициенты пропорциональности между  $\text{St}$  и  $c_f/2$ , получаем аппроксимирующие формулы

$$(3) \quad \text{St} = \text{Pr}^{-1,35}(c_f/2)^{1-0,29\lg \text{Pr}} \quad (1 < \text{Pr} \leqslant 50);$$

$$(4) \quad \text{St} = 0,113\text{Pr}^{-3/4}(c_f/2)^{1/2} \quad (\text{Pr} > 50).$$

На фиг. 3 приведено сравнение результатов расчета по последней формуле с заимствованными из [12] экспериментальными данными (кривая 1 —  $\text{Re}_* = 10^3$ ; 2 —  $\text{Re}_* = 10^5$ ; 3 —  $\text{Re}_* = 10^9$ ). Полученные расчетом кривые  $\text{St}\sqrt{2/c_f} = f(\text{Pr})$ , сливающиеся в одну при больших числах Прандтля, продолжены в область чисел  $\text{Pr} > 10^3$  путем вычисления угла наклона касательной в точке  $\text{Pr} = 10^3$ .

Наблюдается хорошее согласование расчетных и экспериментальных данных: значение коэффициента пропорциональности 0,113 в формуле (4), найденное расчетом, практически совпадает со значением 0,115, установленным в [12] путем согласования с экспериментальными данными. На фиг. 3 видно, что формула (4) достаточно хорошо описывает полученные результаты для  $\text{Pr} > 50$ . Для  $\text{Pr} < 50$  кривые, относящиеся к разным  $\text{Re}_*$  существенно расходятся, зависимость (4) уже не пригодна, и в области  $1 < \text{Pr} < 50$  результаты описываются зависимостью (3). Входящий в формулы (3), (4) коэффициент трения определяется по формуле

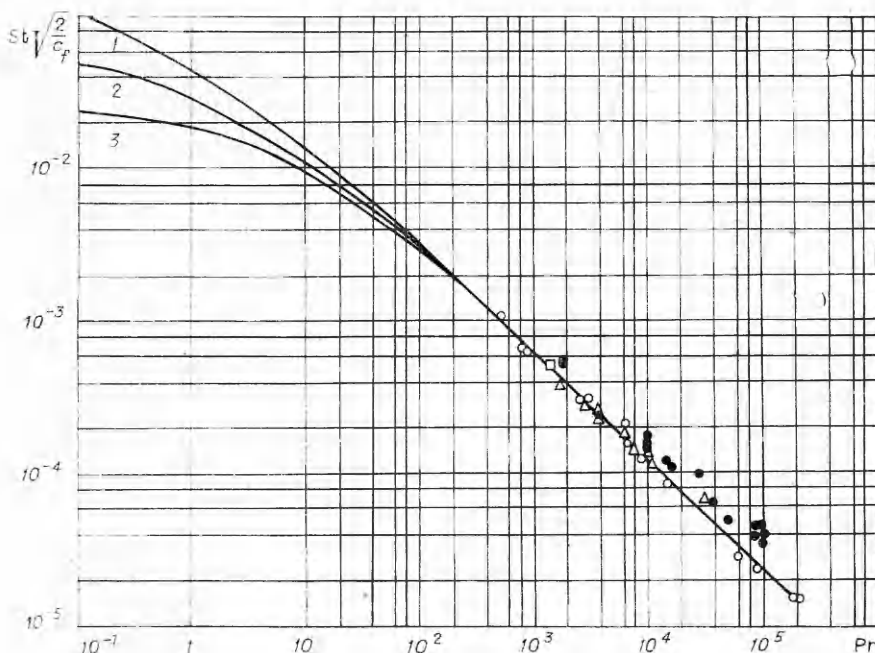
$$(5) \quad \sqrt{2/c_f} = (1/\alpha) \ln \text{Re}_* + 4,31,$$

причем  $\text{Re}_*$  и  $\text{Re}_x$  связаны соотношением [7]

$$(6) \quad \text{Re}_* = \beta_1 c_f / 2 \cdot \text{Re}_x.$$

Эти два равенства связывают  $c_f$  и  $\text{Re}_x$  в неявном виде. Поэтому для расчетов удобнее пользоваться формулой Шлихтинга

$$c_f = (2 \lg \text{Re}_x - 0,65)^{-2,3},$$



Ф и г. 3

дающей результаты, близкие к получаемым по формулам (5), (6).

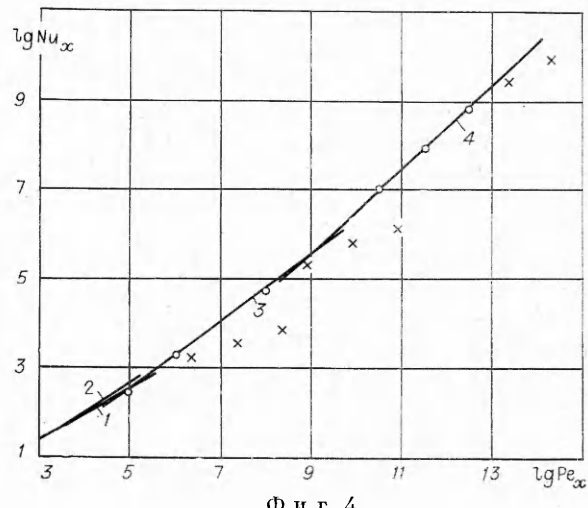
Из данных фиг. 2 видно, что для чисел  $\text{Pr} < 1$  результаты расчетов нельзя аппроксимировать функциями типа (3), (4): зависимости  $\lg(\text{St}) = f(\lg c_f / 2)$  нелинейны. Оказывается, однако, что для чисел  $\text{Pr} < 1$  при всех числах  $\text{Re}$  существует единая зависимость  $\text{Nu}_x = t(\text{Pe}_x)$ . Это дано на фиг. 4, где полученные результаты нанесены на график  $\lg \text{Nu}_x = f(\lg \text{Pe}_x)$  и видно, что все точки (отмечены кружками), относящиеся к числам  $\text{Pr} < 1$ , образуют единую кривую, а точки (отмечены крестиками), относящиеся к числам  $\text{Pr} > 1$ , не укладываются на нее.

На фиг. 5 полученная зависимость  $\text{Nu}_x = f(\text{Pe}_x)$  сравнивается с результатами экспериментов, полученными в [13] для воздуха ( $\times$ ) и в [14] для жидких металлов ( $\cdot$ ). Видно, что теоретические результаты хорошо согласуются с экспериментальными данными.

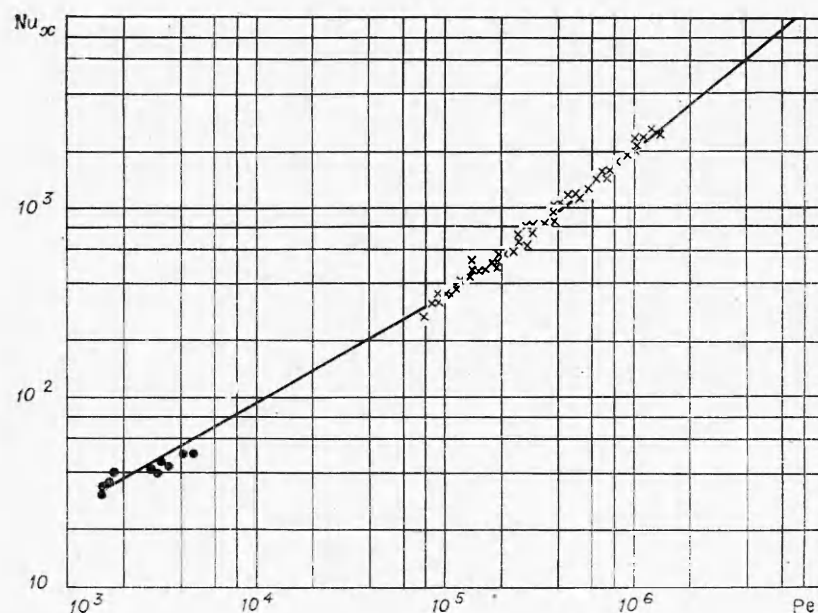
Единая зависимость  $\text{Nu}_x = f(\text{Pe}_x)$  может быть аппроксимирована формулой

$$\text{Nu}_x^{-0.023} = 1.04 - 0.0335 \lg \text{Pe}_x,$$

аналогичной формуле



Ф и г. 4



Ф и г. 5

Шлехтинга для коэффициента трения. Более простые степенные формулы могут быть получены, если аппроксимировать эту зависимость некоторыми, например, как на фиг. 4, тремя прямыми линиями.

Прямая 1 построена по формуле

$$(7) \quad Nu_x = 0,282 Pe_x^{0,62} \quad (10^3 < Pe_x < 10^5),$$

прямая 2 по формуле

$$(8) \quad Nu_x = 0,247 Pe_x^{0,65},$$

полученной в [9] для чисел  $10^3 < Re_x < 2 \cdot 10^5$  и  $0,005 < Pr < 0,05$  при логарифмическом профиле скоростей в слое и линейном распределении касательных напряжений. Из фиг. 4 видно, что при указанных значениях числа  $Re_x$  результаты наших расчетов и формула (7) хорошо согласуются с формулой (8).

Для больших чисел Пекле результаты расчетов могут быть аппроксимированы двумя аналогичными зависимостями (прямые 3, 4 на фиг. 4)

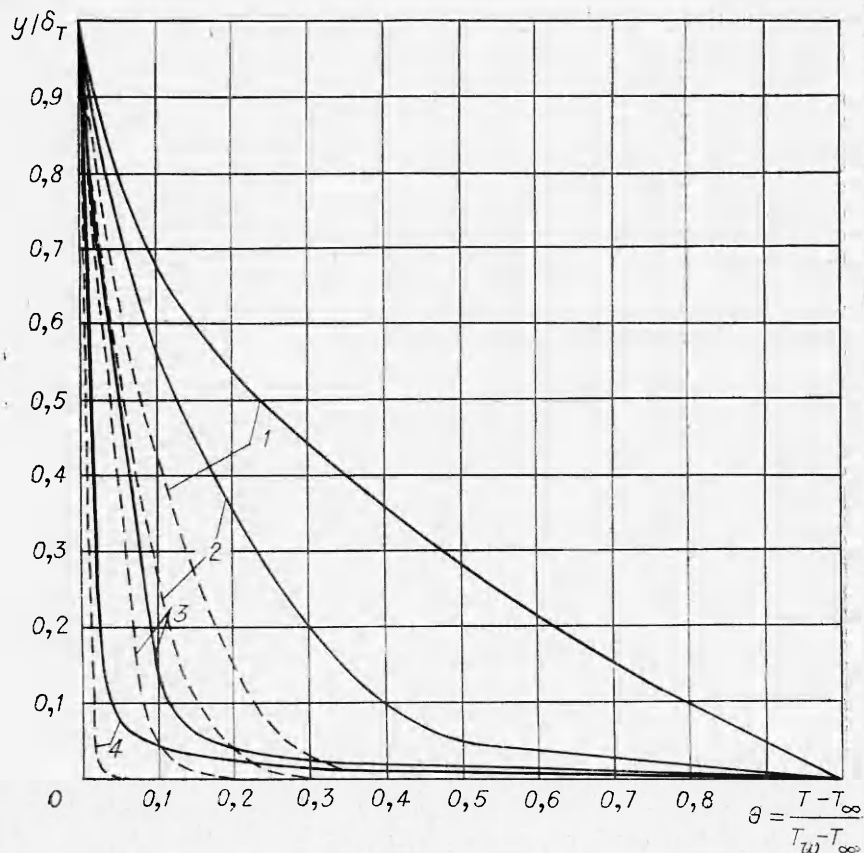
$$(9) \quad Nu_x = 0,036 Pe_x^{0,8} \quad (10^5 < Pe_x < 5 \cdot 10^8);$$

$$(10) \quad Nu_x = 0,00576 Pe_x^{0,9} \quad (5 \cdot 10^8 < Pe_x < 2,5 \cdot 10^{12}).$$

Аппроксимирующие зависимости (9), (10) пригодны при  $Pr < 1$  и дают хорошие результаты вплоть до  $Pr = 1$  при больших числах  $Re$  ( $Re_x > 10^7$ ).

Использование этих формул при малых числах  $Re$  и числах  $Pr$ , близких к единице, приводит к погрешности, которая при  $Re_x = 2 \cdot 10^5$  и  $Pr = 1$  дает 25%. В этой области значений критериев могут быть использованы известные зависимости.

Формулы (3), (4), (7), (9) и (10) охватывают практически весь диапазон встречающихся критериев.



Ф и г. 6

В заключение приводим на фиг. 6 профили безразмерной температуры  $\theta(y/\delta_T)$  в пограничном слое, вычисленные с помощью формул (1), (2) для различных значений  $Pr$  и  $Re_*$  (сплошные линии соответствуют  $Re_* = 10^3$ , штриховые —  $Re_* = 10^9$ , кривые 1 —  $Pr = 10^{-2}$ ; 2 —  $Pr = 1$ ; 3 —  $Pr = 10$ ; 4 —  $Pr = 100$ ). Из данных фиг. 6 следует, что число Рейнольдса существенно влияет на распределение температуры в слое. Причем это влияние растет с уменьшением числа Прандтля и качественно оказывается таким же, как влияние числа Прандтля.

Поступила 27 VIII 1975

#### ЛИТЕРАТУРА

1. Кутателадзе С. С., Леонтьев А. И. Тепломассообмен и трение в турбулентном пограничном слое. М., «Энергия», 1972.
2. Клаузер Ф. Проблемы механики. Вып. 2. М., ИЛ, 1959.
3. Таусенц А. А. Структура турбулентного потока с поперечным сдвигом. М., ИЛ, 1959.
4. Ротта И. К. Турбулентный пограничный слой. Л., «Судостроение», 1967.
5. Меллор Д. Л., Джубсон Д. М. Равновесные турбулентные пограничные слои.— Сб. пер. Механика, 1967, № 2.
6. Меллор Д. Л. Влияние градиента давления на турбулентное течение вблизи гладкой стенки.— Сб. пер. Механика, 1967, № 2.

7. Дорфман А. Ш. Решение уравнения теплообмена для равновесных турбулентных пограничных слоев при произвольном распределении температуры обтекаемой поверхности.— «Изв. АН СССР. МЖГ», 1972, № 5.
8. Лойнянский Л. Г. Перенос тепла в турбулентном движении.— ПММ, 1960, т. XXIV, № 4.
9. Кутателадзе С. С., Боринанский В. М., Новиков И. И., Федынский О. С. Жидкотемпературные теплоносители. М., Атомиздат, 1958.
10. Shi S. W., Spalding D. B. Influence of temperature ratio on heat transfer to a flat plate through a turbulent boundary. — In: Proceedings of the 3rd International Heat Transfer Conference. Vol. 11., N. Y., 1966.
11. Попов В. Н. Теплоотдача и сопротивление при продольном турбулентном обтекании пластины воздухом.— ТВТ, 1970, т. 8, № 5.
12. Кутателадзе С. С. Пристенная турбулентность. Ч.1. Новосибирск, «Наука», 1970.
13. Петухов Б. С., Детлоф А. А., Кирилов В. В. Экспериментальное исследование местной теплоотдачи пластины в дозвуковом турбулентном потоке воздуха.— ЖТФ, 1954, т. XXIV, вып. 10.
14. Федорович Е. Д. Теплоотдача пластины, обтекаемой турбулентным пограничным слоем.— «Инж.-физ. журнал», 1959, № 9.

УДК 532.517.4

## ЭФФЕКТИВНОСТЬ ТЕПЛОВОЙ ЗАВЕСЫ

*E. B. Шишов*

(Москва)

Для защиты поверхностей, обтекаемых высокоэнталпийным потоком газа, широкое распространение находят газовые завесы.

Основным параметром, характеризующим интенсивность теплообмена в этих условиях, является эффективность завесы

$$\theta = \frac{T_{ст}^* - T_0}{T_{ст_1}^* - T_0} = \frac{\delta_{T_1}^{**}}{\delta_{T_{ад}}^{**}},$$

где  $T_0$  — температура невозмущенного потока;  $T_{ст}^*$  — адиабатическая температура стенки;  $T_{ст_1}^*$  — температура стенки в начале завесы;  $\delta_{T_{ад}}^{**}$  — толщина потери энергии на адиабатической стенке;  $\delta_{T_1}^{**}$  — толщина потери энергии в начале завесы.

Для определения эффективности тепловой завесы рядом авторов [1—3] предложены аналитические выражения, причем в [2, 3] эти выражения выведены для предельного случая  $x \rightarrow \infty$ .

Однако в ряде важных для инженерной практики случаев протяженность защищенных поверхностей невелика, и поэтому возникает необходимость более точного определения эффективности тепловой завесы в начальном участке. Аналитическое выражение для этого случая можно получить, исходя из следующих допущений. Известно [1, 2], что в рассматриваемых условиях применим закон суперпозиций температурных полей, поэтому можно предположить, что новое тепловое возмущение, возникающее под влиянием адиабатичности стенки, развивается в существующем тепловом пограничном слое по тому же закону, что и тепловой пограничный слой в условиях предвключенного адиабатического участка.